

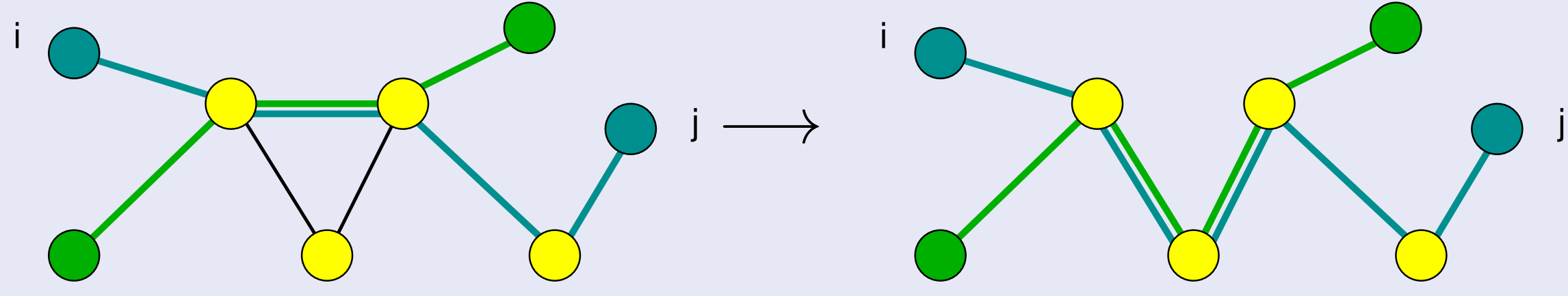
► Forschungsfrage und Kontext

Erneuerbare Energien: Mehr dezentrale und fluktuierende Quellen
→ Herausforderung: *Netzstabilität*

Wie sehen **die besten** / **die typischen** / **die schlechtesten** Netzwerktopologien aus?

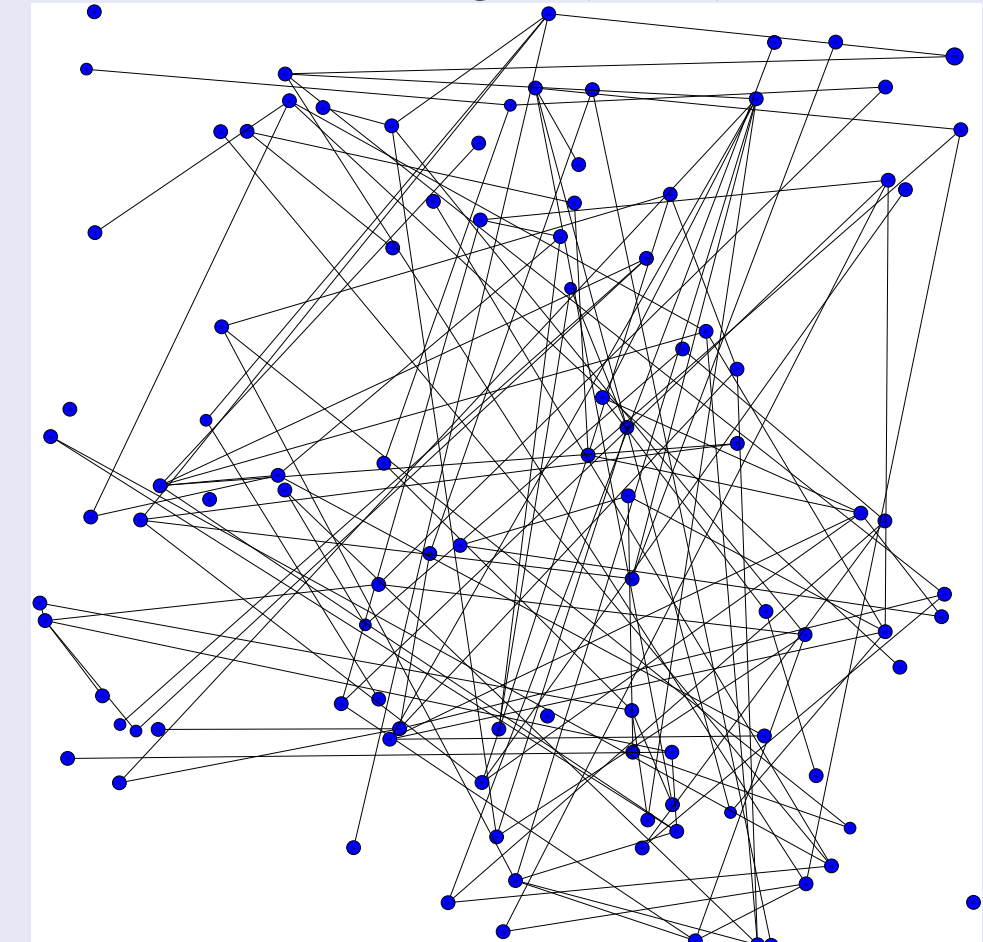
Vorstudie für Methodenentwicklung:

Backup-Kapazität = Maß für Netzwerk-Widerstandsfähigkeit. Wie stark erhöht sich lokal der Energiefluss maximal bei Entfernen der am stärksten belasteten Kante? Basiert auf **Edge Betweenness**



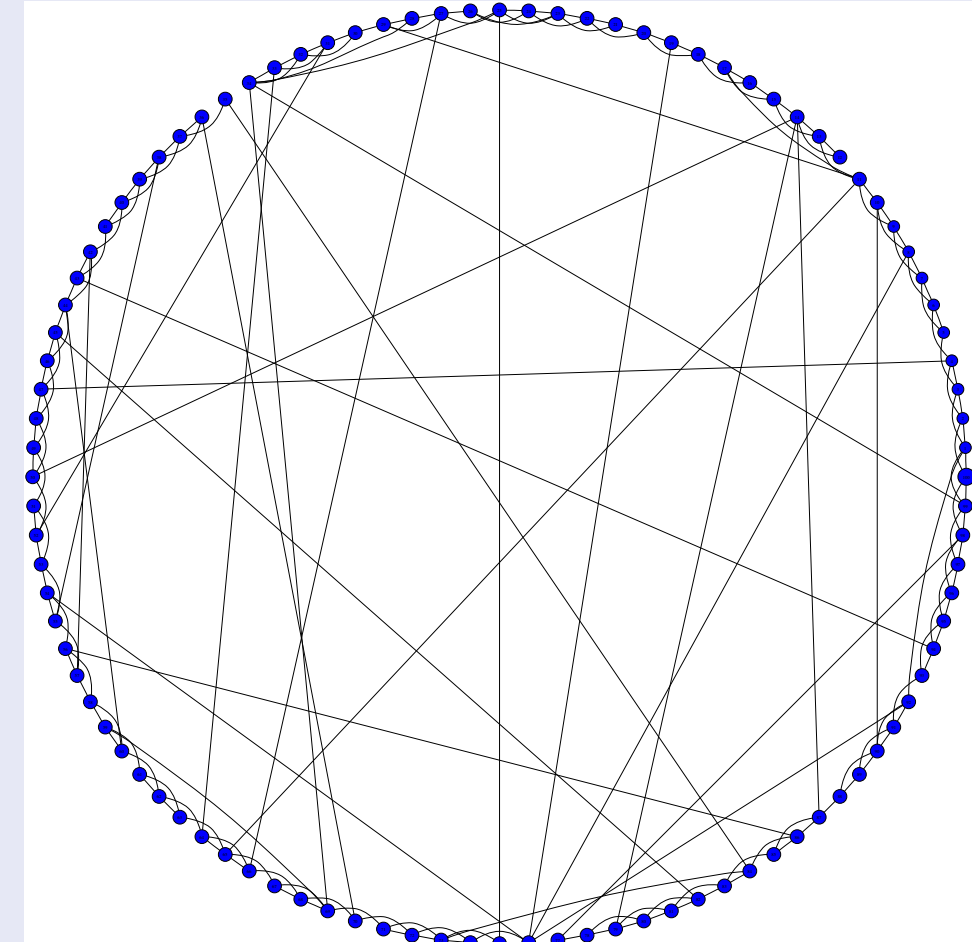
Unterschiedliche Ensembles:

Erdős-Rényi (ER)



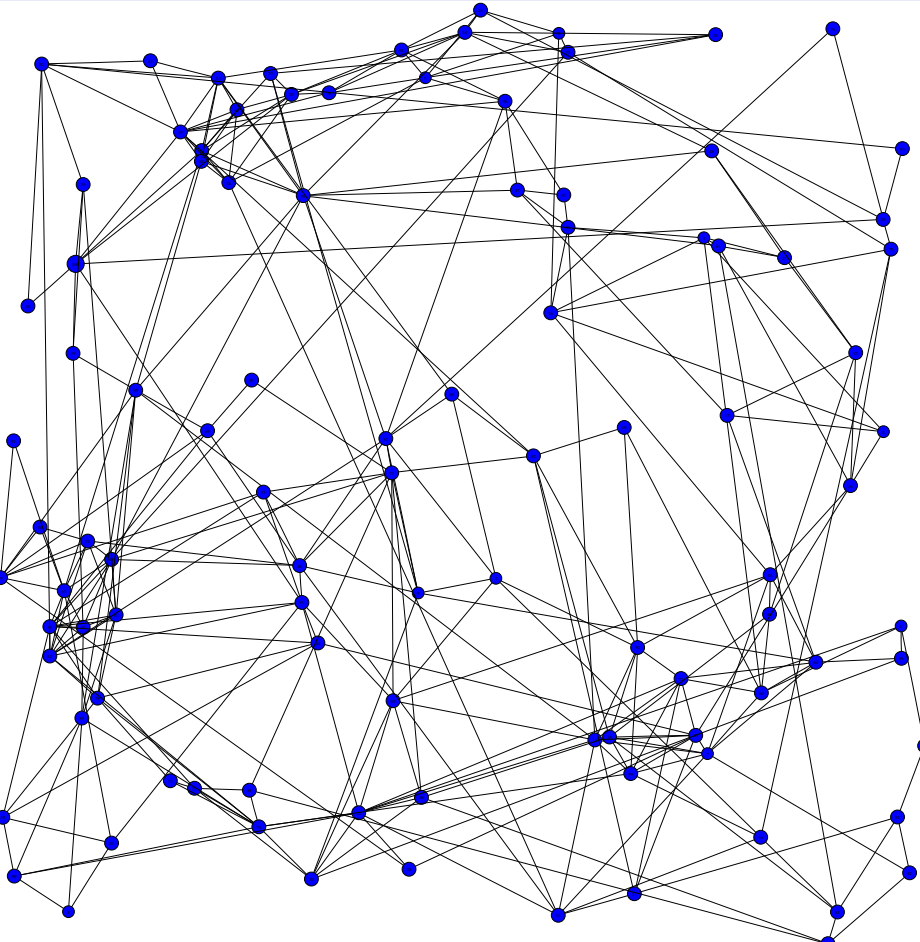
c : mittlerer Grad

Small World (SW)



p = W'keit für Umsetzung

Räumliche Netze

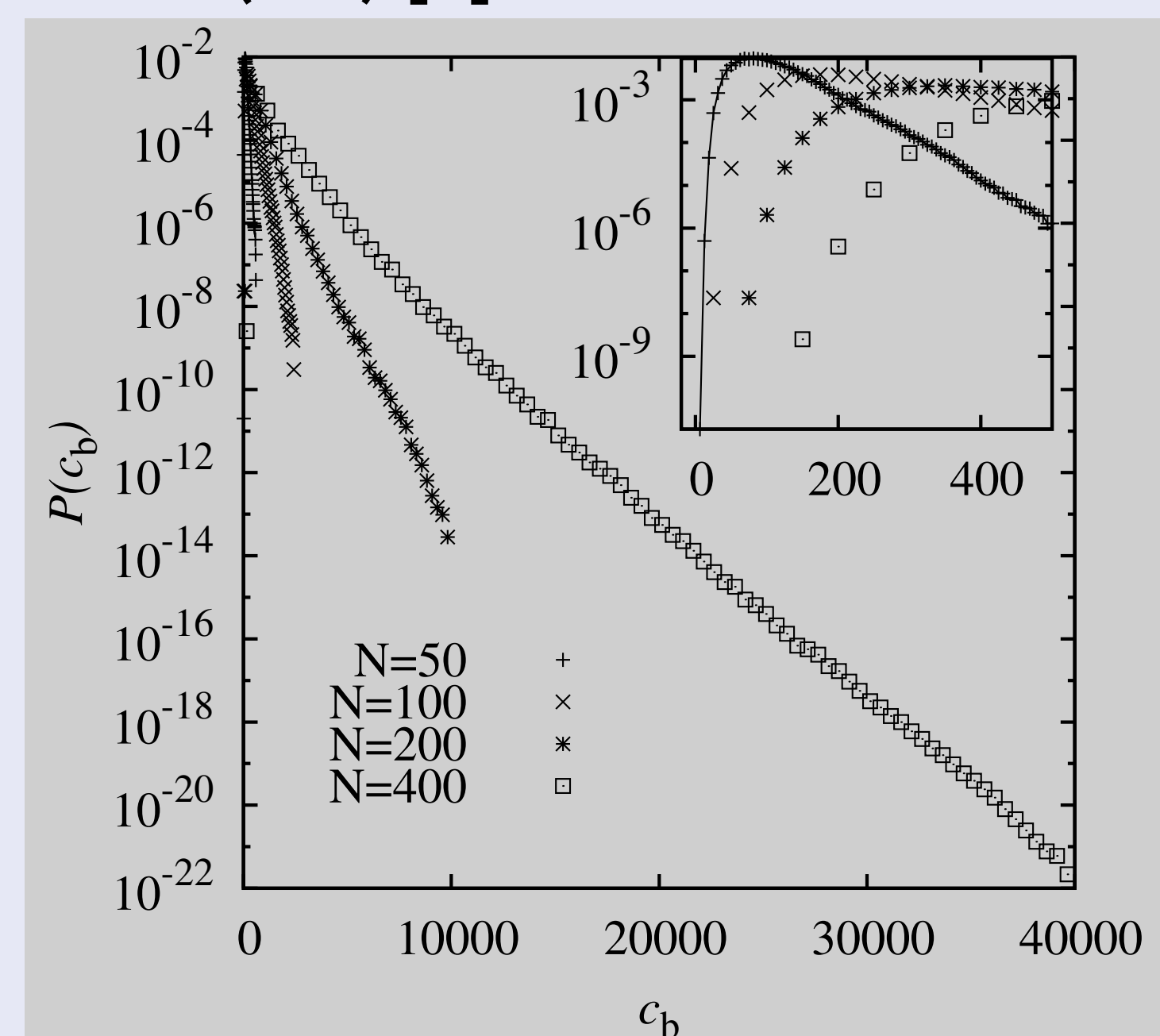


Zufällige Positionen
 $p_{ij} \sim a(1 + d_{ij})^{-\alpha}$

► Ergebnisse

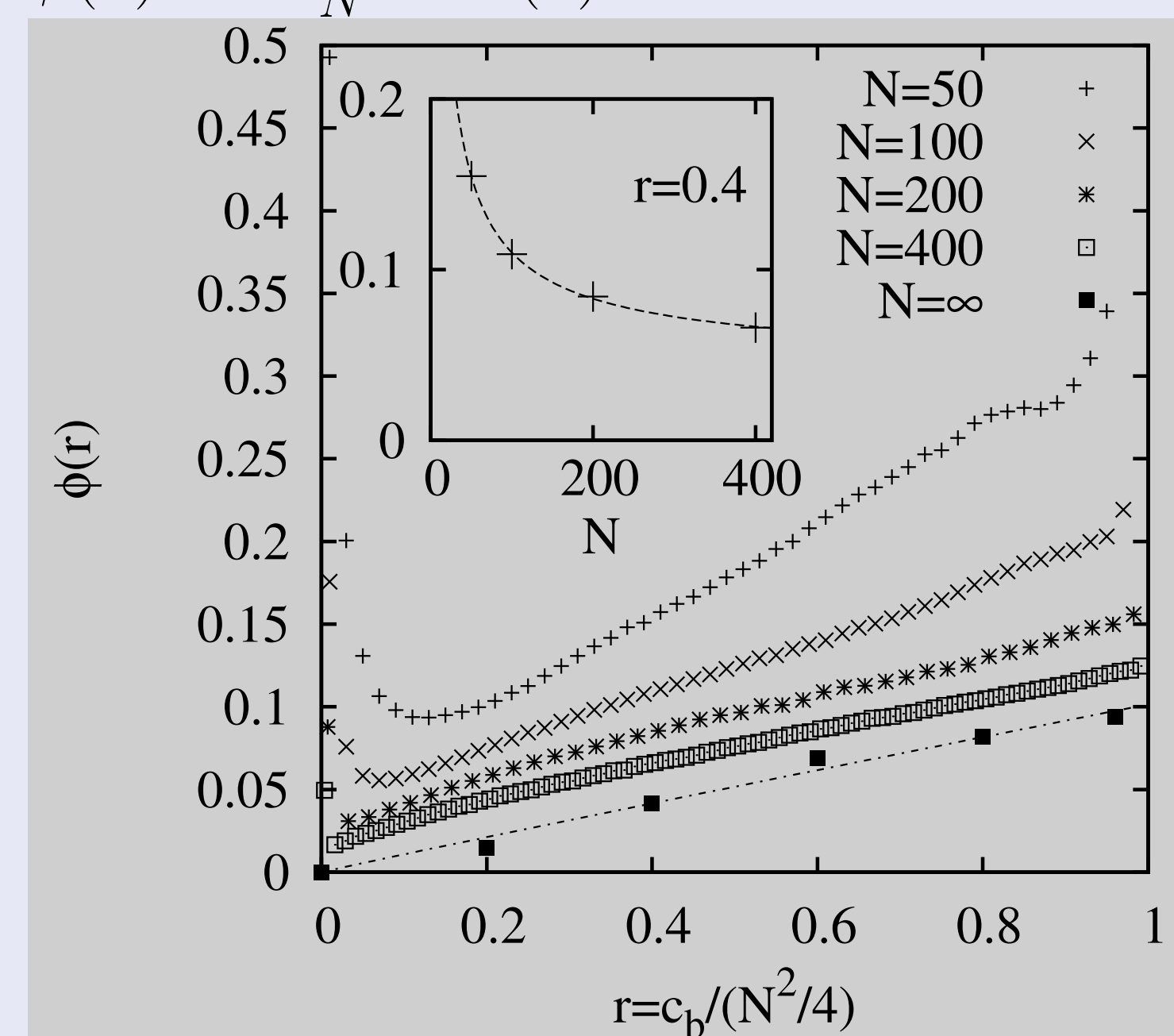
Ergebnisse zum Transportmodell

Verteilung der Backup-Kapazitäten (SW) [2]



Konvergenz der Ratenfunktion

$$\phi(r) = -\frac{1}{N} \ln P(r)$$



Korrelationen mit verschiedenen Netzwerkcharakteristiken
→ Faustregeln:

- Viele Kanten sind gut (aber teuer)
- Kleiner Graphdurchmesser ist gut

Vergleiche Ergebnisse mit Stabilitätsanalyse (über Eigenwerte) von Kuramoto(-artigen) Oszillatoren [3].

Ergebnisse zum Lastflussmodell

Betrachte linearisierten, stationären Lastfluss (nur Wirkleistung und verlustfreie Leitungen) an Knoten j des Netzwerks:

$$P_j + P^{\text{MAX}} \sum_i a_{ij} (\phi_i - \phi_j) = 0.$$

mit Wirkleistungsverbrauch, bzw. -erzeugung P_j , maximaler Leitungskapazität P^{MAX} , Adjazenzmatrix a_{ij} und Phasenabweichungen der Synchronmaschinen ϕ_j .

► Methodik

Monte Carlo Simulation: Ändere Graphen schrittweise:



Metropolis Algorithmus:

$$p_{\text{Metr}} = \min \left\{ 1, e^{-[S(G^*) - S(G(t))]/T} \right\}.$$

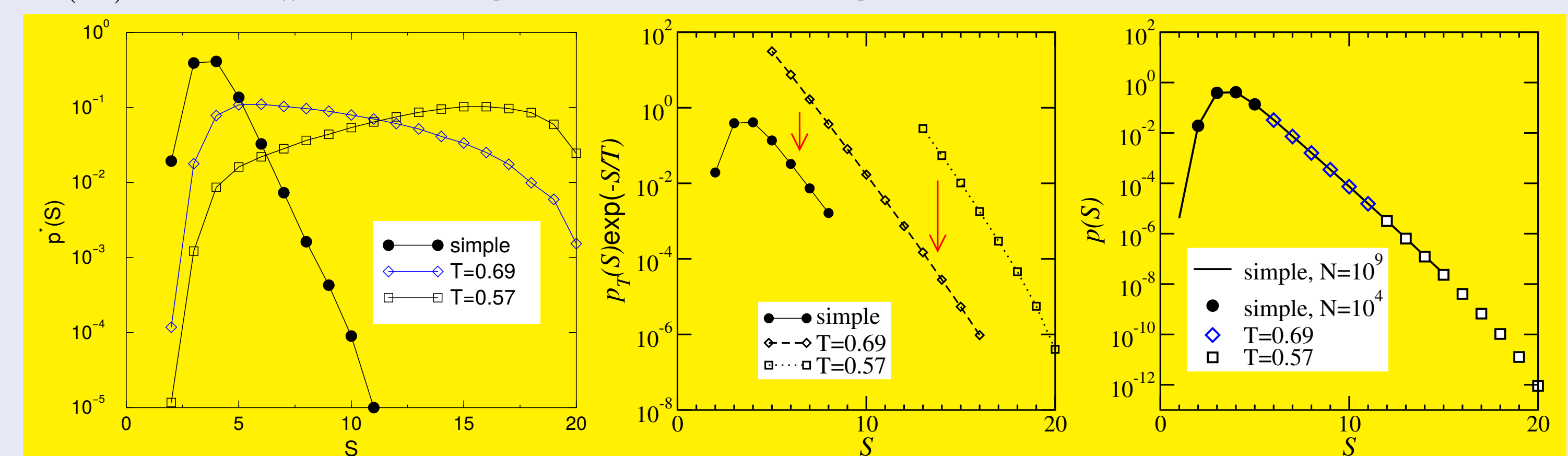
T : Fokus-Parameter, $G(t)$: Graph bei Zeitschritt t , S : Messgröße, G^* : geänderter Graph

$P_T(S)$: gemessene Verteilung, $P(S)$: gesucht [1]:

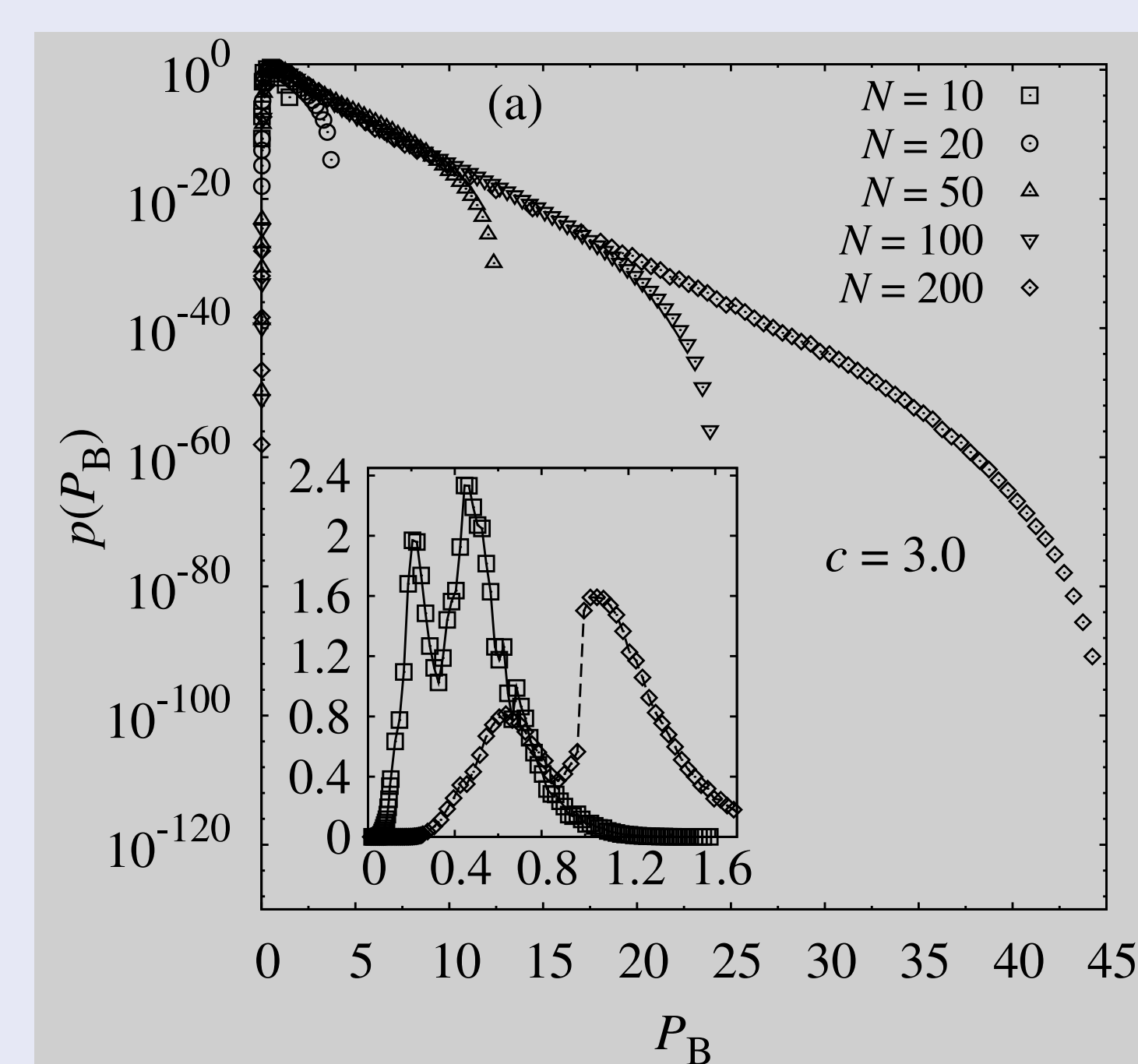
$$P(S) = e^{S/T} Z(T) P_T(S)$$

T beliebig → Simulation bei mehreren Werten

$Z(T)$ durch „Matching“ von Verteilungen:



[1] A.K. Hartmann, Phys. Rev. E **65**, 056102 (2002)

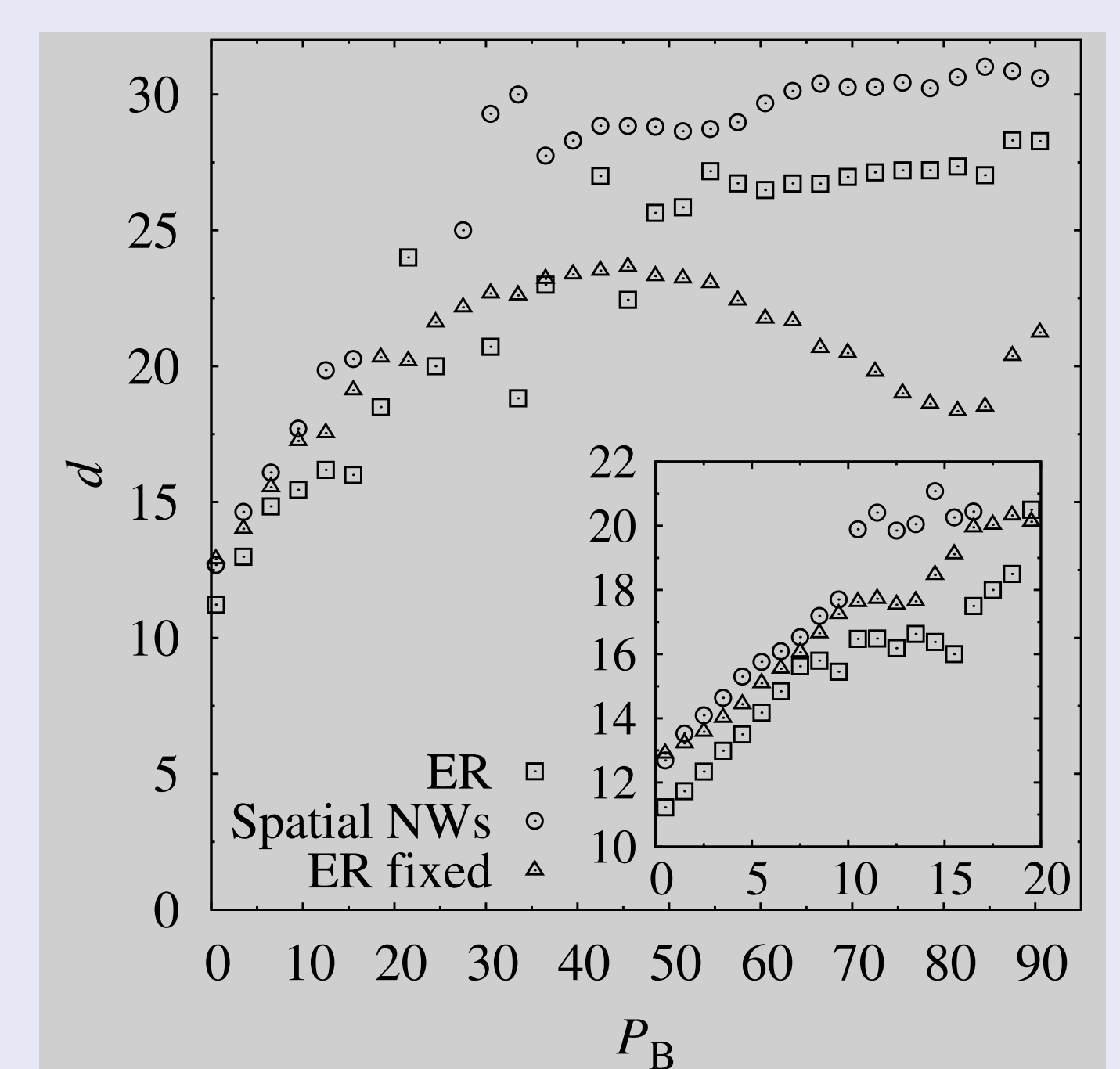


Verteilung $p(P_B)$ der Backup-Kapazitäten P_B (ER) [4]

[2] A.K. Hartmann, Eur. Phys. J B **87**, 114 (2014)

[3] A.K. Hartmann, B. Werther, W. Heins, T. Dewenter, in Vorbereitung

[4] T. Dewenter, A.K. Hartmann, New J. Phys. **17**, 015005 (2015)



Mittlerer Graphdurchmesser d als Funktion von P_B

► Ausblick

- Anwendung auf weitere räumliche Netzwerke (Gabriel Graph, relative-neighborhood Graph, ...)
- Berücksichtigung von Fluktuationen der Verbraucher und Erzeuger
- Einbeziehung von Blindleistung und Leitungsverlusten beim Lastflussmodell
- Berücksichtigung der Kosten (\sim Länge) von neuen Leitungen
→ ökonomisch realistischeres Modell